

УДК 533.951.2/3

**НИЗКОЧАСТОТНЫЕ КОЛЕБАНИЯ ПЛАЗМЫ КОЛЬЦЕВОГО РАЗРЯДА  
В СКРЕЩЕННЫХ ЭЛЕКТРИЧЕСКИХ И МАГНИТНЫХ ПОЛЯХ**

**В. Г. Андропов, Н. А. Кружилин, Г. С. Лопацкий,  
Г. Д. Петров**

(Москва)

Экспериментально исследованы низкочастотные колебания в плазме кольцевого разряда. Найдены значения магнитного поля, соответствующие возникновению и срыву ионизационных колебаний. Проведен анализ устойчивости плазмы при отсутствии ионизационного равновесия. Отмечено согласие между теоретическими и экспериментальными результатами.

Ранее [1] были исследованы низкочастотные колебания плазмы в контрагированным разряде, вращавшемся в магнитном поле. Возможно существование и кольцевой формы, когда разряд заполняет все межэлектродное пространство, что приводит к замыканию азимутального холловского тока [2]. Возникновение и развитие колебаний в такой плазме зависит от величины проскальзывания электронов и ионов относительно нейтральных частиц, определяемого замагниченностю соответственной компоненты [3-5]. Исследованию колебаний такой замагниченной плазмы и посвящена настоящая работа.

Экспериментальная установка описана в [1]. Давление газа составляло  $0.05 \div 0.5 \text{ торр}$ , ток разряда  $0.05 \div 0.4 \text{ а}$ , магнитное поле  $0 \div 3.5 \text{ кгс}$ . Температура и концентрация электронов определялись из зондовых измерений.

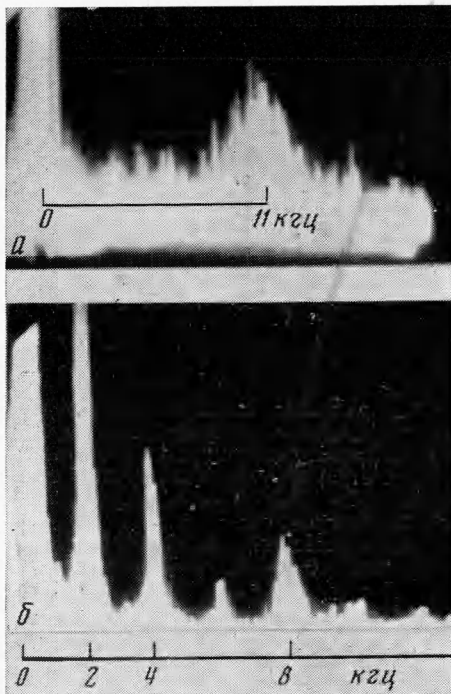
При давлении  $0.1 \text{ торр}$  эти параметры были следующими:

$H, \text{ гс}$	$I_d, \text{ а}$	$T_e, ^\circ\text{К}$	$n_e, \text{ см}^{-3}$
0	0.39	$2.18 \cdot 10^4$	$1.13 \cdot 10^{10}$
50	0.38	$2.47 \cdot 10^4$	$1.38 \cdot 10^{10}$
100	0.375	$2.67 \cdot 10^4$	$1.48 \cdot 10^{10}$
150	0.37	$2.78 \cdot 10^4$	$1.92 \cdot 10^{10}$
200	0.36	$2.82 \cdot 10^4$	$2.13 \cdot 10^{10}$

Эксперименты показали, что при величине магнитного поля, меньшей некоторого критического значения  $H_* \approx 100 \div 140 \text{ гс}$ , амплитуда колебаний напряжения на зондах мала, а частотный спектр имеет характер «белого шума». При критическом значении поля появляются селективные колебания на частоте  $11 \text{ кгц}$ . На рис. 1, а приведен амплитудно-частотный спектр колебаний разности потенциалов зондов при  $H = 140 \text{ гс}$ . При напряженности магнитного поля  $350 \div 400 \text{ гс}$  основная частота колебаний уменьшалась до  $2 \text{ кгц}$ , появлялись гармоники на более высоких частотах. Соответствующая спектограмма при  $H = 380 \text{ гаусс}$  представлена на фиг. 1, б. При дальнейшем увеличении магнитного поля частота колебаний снова увеличивалась. Аналогичный ход частоты осцилляций наблюдался и по яркости свечения плазмы.

Скорость распространения колебаний в азимутальном и радиальном направлениях определялась по сдвигу фаз потенциала зондов. Значения скорости лежали в пределах  $100 \div 200 \text{ м/сек}$ . Характерный размер длины волны был порядка  $0.5 \div 2 \text{ см}$ .

На фиг. 2 приведена зависимость частоты первой гармоники колебаний потенциала плазмы от величины магнитного поля. Регулярные колебания, возникающие при  $H > H_*$  (участок  $AB$  на фиг. 2), обусловлены неустойчивостью исходного состояния плазмы. Наибольший инкремент имеют колебания, связанные с ионизационной неустойчивостью [3-10]. На ионизационную неустойчивость указывает и то, что колебания



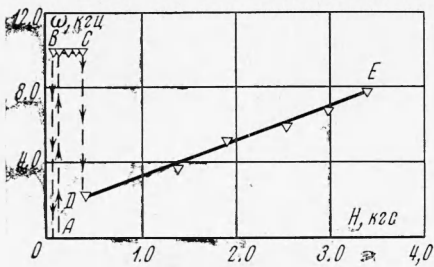
Фиг. 1

концентрации электронов на участке  $BC$  (фиг. 2), были достаточно велики и составляли 10% средней величины. Колебания концентрации определялись по флуктуациям зондового тока и независимо по флуктуациям электрического поля [11].

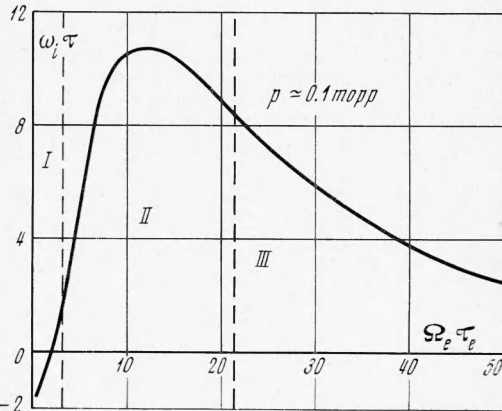
Появление регулярных колебаний (участок  $AB$  на фиг. 2) соответствует значению электронного параметра Холла  $\Omega_e \tau_e \sim 4$ . Понижение частоты колебаний (участок  $CD$  на фиг. 2) относится к величине  $\Omega_e \tau_e \gtrsim 20$ , при этом значение параметра скольжения ионов  $\Omega_i \tau_i \cdot \Omega_i \tau_i$  порядка единицы ( $\Omega_i \tau_i$  — параметр Холла для ионов).

Зависимость частоты колебаний от магнитного поля имеет гистерезисный характер (участок  $AB$  на фиг. 2). При уменьшении магнитного поля колебания на частоте 11 кГц сохраняются вплоть до значений  $H \sim 1/2 H_*$  и далее срываются при  $H \approx 40$  Гс, т. е. при  $\Omega_e \tau_e \sim 2$ .

Существенный интерес представляет анализ дисперсионного уравнения ионизационных колебаний. При выводе дисперсионного уравнения рассматривался плоский слой плазмы толщиной  $L$ , направление тока полагалось параллельным плоскости  $XY$ , магнитного поля — вдоль оси  $Z$ . В основном состоянии характерный размер неоднородности плазменного слоя по оси  $Z$  порядка



Фиг. 2



Фиг. 3

$L/2$ . В условиях эксперимента рождение электронов обусловлено прямой ионизацией, а потери — амбиполярной диффузии и двухчастичной рекомбинацией. Энергетические потери электронов в основном обусловлены процессом теплопроводности, потерями при упругих и неупругих столкновениях можно пренебречь. В обобщенном законе Ома учитывалось проскальзывание ионов. Остальные уравнения имели общепринятый вид [6].

Для колебаний с волновым вектором, параллельным плоскости симметрии ( $Z = 0$ ), дисперсионное уравнение имеет вид

$$\begin{aligned} i\omega_i \tau &= 2h_1 \left( \frac{k_x k_y}{k^2} - \frac{\Omega_e \tau_e}{1 + \varepsilon (\Omega_e \tau_e)^2} - \frac{k_y^2}{k^2} \right) - h_2 \left( 1 + \frac{\kappa_{e\perp} T_e k^2}{Q_0} \right) \\ h_1 &= \frac{d \ln \tau_i^{-1}}{d \ln T_e}, \quad h_2 = \frac{\tau_i}{\tau_r} + D_{a\perp} k^2 \tau_i, \quad \varepsilon = \frac{\Omega_i \tau_i}{\Omega_e \tau_e} \\ \tau &= \frac{V_i n_e}{Q_0} h_1 + \tau_i \left( 1 + \frac{\kappa_{e\perp} T_e k^2}{Q_0} \right) \end{aligned} \quad (1)$$

Здесь  $k_x, k_y$  — компоненты волнового вектора,  $D_{a\perp}$ ,  $\kappa_{e\perp}$  — соответственно коэффициенты амбиполярной диффузии и электронной теплопроводности поперек магнитного поля,  $\tau_i, \tau_r$  — характеристические времена ионизации и рекомбинации [12],  $V_i$  — потенциал ионизации газа,  $Q_0$  — величина джоулевых потерь.

На фиг. 3 представлена зависимость величины  $\omega_i \tau_i$  от  $\Omega_e \tau_e$ , рассчитанная по соотношению (1). Здесь же приведены экспериментально определенные области характерных режимов колебаний плазмы. Для определения границы устойчивости из (1) получаем уравнение для критического параметра Холла  $(\Omega_e \tau_e)^*$

$$\frac{(\Omega_e \tau_e)^2}{[1 + \varepsilon (\Omega_e \tau_e)^2]^2} = \frac{2h_2}{h_1} \left[ 1 + \frac{h_2}{h_1} \left( 1 + \frac{\kappa_{e\perp} T_e k^2}{Q_0} \right) \right] \left( 1 + \frac{\kappa_{e\perp} T_e k^2}{Q_0} \right) \quad (2)$$

При  $\Omega_e \tau_e < (\Omega_e \tau_e)^*$  плазменные колебания отсутствуют (область I на фиг. 3). При  $\Omega_e \tau_e > (\Omega_e \tau_e)^* \approx 2 \div 3$  величина  $\omega_i > 0$  и возможно возникновение ионизационной неустойчивости (область 2, на фиг. 3). При  $\Omega_e \tau_e > 10$  (значение параметра

скольжения порядка единицы), величина инкремента  $\omega_i$  достигает максимума и далее уменьшается. При  $H > 400$  гс частота колебаний меняется скачком, что, видимо, связано с установлением другого типа колебаний, вероятнее всего магнитоакустических [3, 4, 13].

Поступила 26 XI 1971

#### ЛИТЕРАТУРА

1. А н д р о п о в В. Г., Л о п а ц к и й Г. С., П е т р о в Г. Д., Ч е р н ы ш В. И. Ю р ч у к Э. Ф. Низкочастотные колебания плазмы, вращающейся в магнитном поле. ПМТФ, 1969, № 5, стр. 141.
2. Ш и р о к о в М. Ф., В а у л и н Е. П. Течения неизотермической плазмы с большими скоростями. В сб. «Исследования при высоких температурах», М., «Наука», 1967.
3. S a i t o S., S a t o N., H a t t a Y. Low-frequency oscillations in a weakly ionized plasma in crossed electric and magnetic fields. J. Phys. Soc. Japan., 1966, vol. 21, No. 12, p. 2695.
4. В е д е н о в А. А., В е л и х о в Е. П. Проблемы использования плазмы с горячими электронами в МГД генераторах. Electricity from MHD, Vienna, 1966, vol. 2, p. 395.
5. Е л и с е е в Б. В. Неустойчивость пондеромоторной силы в слабо ионизованной плазме. Теплофизика высоких температур, 1964, т. 2, № 6, стр. 852.
6. V e l i k c h o v E. P., D y k h e A. M. Plasma turbulence due to ionization instability in a strong magnetic field. Compt. rend. 6-e Conférence Internat. Phénom. Ionisat. dans Gaz, vol. 4, Paris, 1963.
7. K e g g e b r o c k J. L. Nonequilibrium ionization due to electron heating. II. AIAA Journal, 1964, vol. 2, No. 6, p. 1072.
8. Ш и п у к И. Я., П а ш к и н С. В. Ионизационная неустойчивость плазмы в скрещенных полях. Докл. АН СССР, 1967, т. 176, № 6.
9. Р о ж к о в А. М., С т е п а н о в К. Н. С у п р у н е н к о В. А., Ф а р е н и к В. И., В л а с о в В. В. Резонансное возбуждение ионно-циклотронных колебаний во вращающейся плазме. Письма в ЖЭТФ, 1969, т. 10, вып. 2.
10. Н а с т о я щ и й А. Ф. Устойчивость тока в поперечном магнитном поле. Теплофизика высоких температур, 1964, т. 2, № 3, стр. 321.
11. Л о п а ц к и й Г. С., А н д р о п о в В. Г. Экспериментальное исследование характеристик дугового разряда в поперечном магнитном поле. Electricity from MHD, Vienna, 1966, vol. 2, p. 133.
12. Б и б е р м а н Л. М., В о р о б'єв В. С., Я к у б о в И. Т. К теории неравновесной низкотемпературной плазмы. Сб. «Магнитогидродинамический метод получения электроэнергии», М., «Энергия», 1968, стр. 209.
13. T r i g h e r S. A. The theory of the stability of sound on a nonhomogeneous plasma. Electricity from MHD, Vienna, 1966, vol. 2, p. 409.

УДК 537.529

#### О СТРУКТУРЕ ЭЛЕКТРИЧЕСКОГО ПОЛЯ НЕКОТОРЫХ ОСЕСИММЕТРИЧНЫХ И ПЛОСКИХ ЗАДАЧ

*А. П. Шаталов (Челябинск)*

Приводятся результаты расчета на ЭЦВМ БЭСМ-6 электрического поля стержня и пластины, а также искажений внешнего поля штыревой антенной.

В ряде случаев возникает задача определения осесимметричных и плоских электрических полей, создаваемых цилиндрическим стержнем конечных размеров с заданным распределением напряжения по его длине, а также полей пластины, диска и полосковой линии. К расчету таких полей приводят анализ полей взрывающейся проволочки [1], реостатного делителя напряжения при измерении больших напряжений генераторов импульсных напряжений, определение искажений внешнего поля измерительной антенной и искажений поля атмосферы вблизи стержневого молниепровода, а также задача создания однородного поля в ограниченном объеме при моделировании действия внешнего равномерного поля [2]. В последнем случае важно рассчитать искажения поля внесенным объектом исследования.

В квазистатическом приближении расчет поля сводится к интегрированию уравнения Лапласа с заданными граничными условиями. Ввиду специфики области